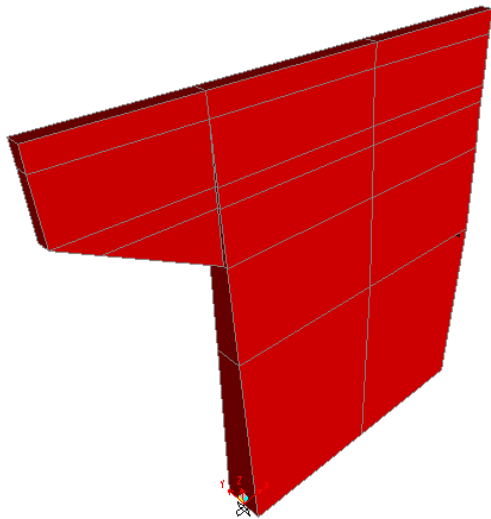


PUENTE IPAL

Diseño del Muro Lateral ED (a.abajo)



$$h := 9.7845 \text{ m}$$

$$\gamma_s := 19 \frac{\text{kN}}{\text{m}^3}$$

$$h_{\text{eq}} = 0.6 \text{ m}$$

$$s_c = 11.4 \frac{\text{kN}}{\text{m}^2}$$

Coeficiente de empuje activo

$$k_a := \frac{(\sin(\theta + \phi))^2}{(\sin(\theta))^2 \cdot \sin(\theta - \delta) \cdot \left(1 + \sqrt{\frac{\sin(\phi + \delta) \cdot \sin(\phi - \beta)}{\sin(\theta - \delta) \cdot \sin(\theta + \beta)}}\right)^2}$$

$$k_a = 0.313$$

presión inferior

$$p_{\text{inferior}} := \gamma_s \times k_o \times h + s_c \times k_o$$

$$p_{\text{inferior}} = 92.75 \frac{\text{kN}}{\text{m}^2}$$

$$p_{\text{superior}} := s_c \times k_o$$

$$p_{\text{superior}} = 5.359 \frac{\text{kN}}{\text{m}^2}$$

para el ingreso de cargas en el SAP2000

$$\text{Value} = Ax + By + Cz + D$$

el valor de la presión es independiente de x e y

$$\text{Value} = C.z + D$$

cuando $z := 0$ Value := p_{inferior} D := Value $D = 92.75 \frac{\text{kN}}{\text{m}^2}$

$z := h$ Value := p_{superior} $C := \frac{(\text{Value} - D)}{z}$ $C = -8.932 \frac{\text{kN}}{\text{m}^3}$

ángulo de fricción interna

$$\phi := 32 \text{deg}$$

ángulo del relleno con la horizontal

$$\beta := 0 \text{deg}$$

ángulo de fricción entre relleno y muro

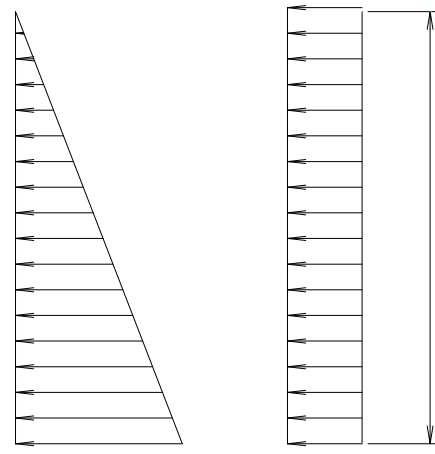
$$\delta := 30 \text{deg}$$

ángulo que forma el respaldo del muro respecto a la horizontal

$$\theta := 85.43 \text{deg}$$

coeficiente de empuje de reposo

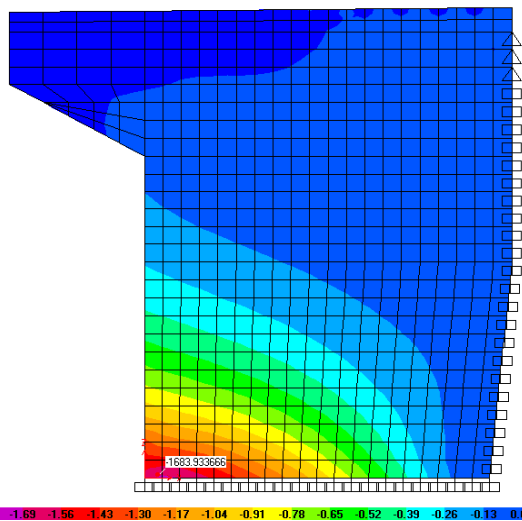
$$k_o := 1 - \sin(\phi) \quad k_o = 0.470$$



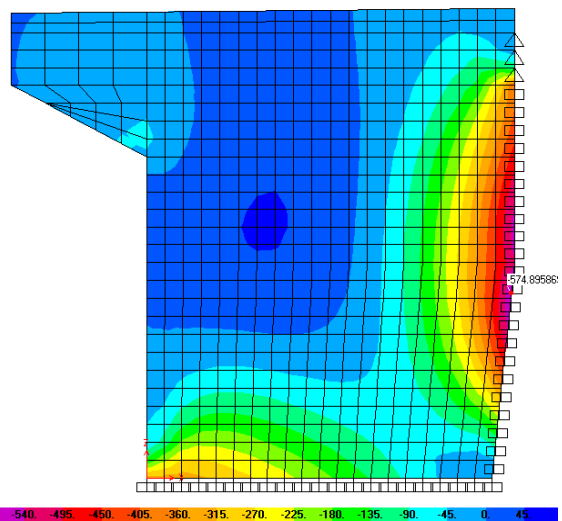
coeficiente de mayoraciòn

$$\gamma_Q := 1.35 \rightarrow 1.35$$

Superficie de Momento vertical



Superficie de Momento horizontal



$$f_y := 420 \frac{\text{N}}{\text{mm}^2} \quad \gamma_s := 1.0$$

$$f_c := 21 \text{ MPa} \quad \gamma_c := 1.0$$

$$c := 0.05 \text{ m} \quad (\text{recubrimiento})$$

Refuerzo Vertical Negativo (trasdos) en la base z=0m

$$M_{d,neg1} := 1683.9 \text{ kN}\cdot\text{m}$$

canto al pie del muro

$$h := 1.04 \text{ m}$$

$$d := h - c - \frac{5}{8} \text{ in} - 0.5 \cdot \phi_1 \quad d = 0.961 \text{ m} \quad b := 100 \text{ cm}$$

$$a_1 := d - \sqrt{d^2 - 2 \cdot \frac{M_{d,neg1}}{0.85 \cdot f_c \cdot \phi \cdot b}} \quad a_1 = 11.602 \text{ cm} \quad \phi := 0.9$$

$$A_{s,neg1} := \frac{M_{d,neg1}}{\phi \cdot f_y \cdot \left(d - \frac{a_1}{2} \right)} \quad A_{s,neg1} = 49.3 \text{ cm}^2$$

Refuerzo mínimo

$$A_{s,min} = 17.6 \text{ cm}^2$$

$$A_{s,neg1} := \max \left(A_{s,neg1}, \min \left(A_{s,min}, \frac{4}{3} A_{s,neg1} \right) \right)$$

$$A_{s,neg1} = 49.31 \text{ cm}^2$$

$$\boxed{\phi_1 = 1 \text{ in}} \quad \text{esp} := \frac{0.25\pi \phi_1^2 \cdot 1\text{m}}{\text{As_neg1}}$$

$\boxed{s_{tr} := 10\text{cm}}$



Refuerzo Vertical Positivo (intrados) $\text{As_suministrado} = 50.671 \text{ cm}^2$

$$\text{As}_{\text{pos}} := 0.25\text{As_suministrado}$$

$\boxed{\text{As}_{\text{pos}} = 12.67 \text{ cm}^2}$

$$\boxed{\phi_3 := \frac{5}{8} \text{ in}} \quad \text{esp} := \frac{0.25\pi \phi_3^2 \cdot 1\text{m}}{\text{As}_{\text{pos}}} \quad \boxed{\text{USE } \phi 5/8 @ 15}$$



Estado Límite de Fisuración

Datos

$$\phi_1 = 1 \text{ in} \quad s_{tr} = 10 \text{ cm} \quad (\text{diámetro barra traccionada y paso})$$

$$M := \frac{Md_{\text{neg1}}}{\gamma_Q} \quad M = 1247.3 \text{ kN}\cdot\text{m} \quad (\text{momento actuante no factorado})$$

$$h = 1.04 \text{ m}$$

Esfuerzo actuante en el acero

$$f_{s,\text{act}} = 280.293 \text{ MPa} \quad \gamma_c = 0.6$$

$$\beta_s = 1.092$$

$$s = 0.116 \text{ m}$$

$$\text{sep} := \min(300\text{mm}, s) \quad \text{sep} = 0.12 \text{ m}$$

Refuerzo Vertical Negativo (trasdos)

para z=1.80m

canto del muro

[$h := 0.90\text{m}$]

[$M_{d\text{neg}2} := 842\text{kN}\cdot\text{m}$]

$$d := h - c - \frac{5}{8}\text{in} - 0.5 \cdot \phi_2 \quad d = 0.825 \text{ m}$$

$b := 100\text{cm}$

Refuerzo mínimo

$$A_{s\text{min}} = 15.3 \text{ cm}^2 \quad A_{s\text{neg}2} = 28.143 \text{ cm}^2$$

USE

[$A_{s\text{neg}2} = 28.14 \text{ cm}^2$]

$$\phi_2 = \frac{3}{4} \text{ in}$$

$$\text{esp} := \frac{0.25\pi \phi_2^2 \cdot 1\text{m}}{A_{s\text{neg}2}}$$

[$s_{tr} := 10\text{cm}$]

(asumimos el mismo espaciado para darle continuidad al refuerzo inferior)

Estado Límite de Fisuración

$$M_2 := \frac{M_{d\text{neg}2}}{\gamma_Q} \quad M_2 = 623.7 \text{ kN}\cdot\text{m} \quad (\text{momento actuante no factorado})$$

Esfuerzo actuante en el acero

$$f_{s\text{act}} = 285.988 \text{ MPa}$$

$$\beta_s = 1.101 \quad s = 115.293$$

$$\text{sep} := \min(300, s) \quad \text{sep} = 115 \quad \text{mm}$$

Lo que indica que la separación suministrada es adecuada

Refuerzo Horizontal Negativo (trasdos)

$$M_{d,hz_neg} := 574.90 \text{ kN}\cdot\text{m}$$

$$h := 0.65 \text{ m}$$



$$A_{s,neg} = 27.2 \text{ cm}^2 \quad A_{s,min} = 9.316 \text{ cm}^2$$

$$A_{s,neg} := \max(A_{s,neg}, A_{s,min}) \quad A_{s,neg} = 27.235 \text{ cm}^2$$

$$\phi_3 := \frac{3}{4} \text{ in}$$

$$esp := \frac{0.25\pi \phi_3^2 \cdot 1 \text{ m}}{A_{s,neg}}$$

$$s_{tr} := 10 \text{ cm}$$

$$A_{s,suministrado2} := \frac{0.25\pi \phi_3^2}{s_{tr}}$$

$$A_{s,suministrado2} = 28.502 \frac{\text{cm}^2}{\text{m}}$$

Estado Límite de Fisuración

$$M := \frac{M_{d,hz_neg}}{\gamma_Q} \quad M = 425.9 \text{ kN}\cdot\text{m} \quad (\text{momento actuante no factorado})$$



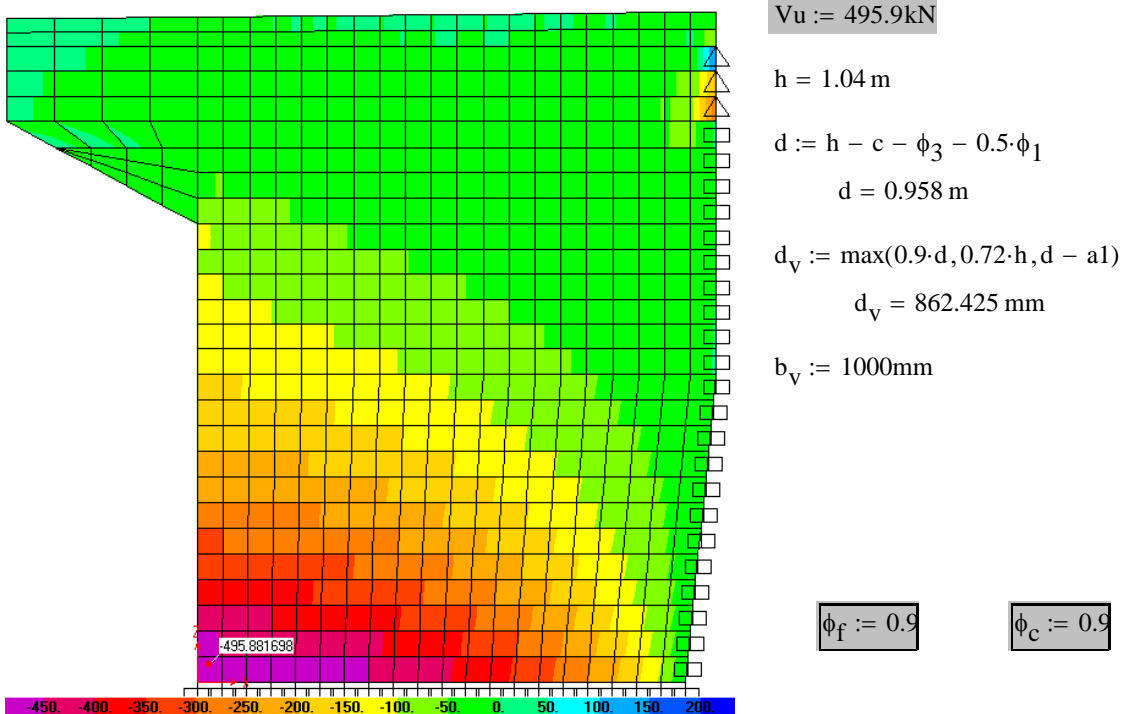
Esfuerzo actuante en el acero

$$f_{s,act} = 276.037 \text{ MPa} \quad d_c = 0.06 \text{ m}$$

$$\beta_s = 1.144 \quad sep = 0.11 \text{ m}$$

luego observamos que la separación suministrada es adecuada

Verificación por Corte



$$\varepsilon_x = 2.108 \times 10^{-3} \quad s_{xe} = 729.103 \text{ mm}$$

$$\beta := 1.10 \quad \theta := 59.0 \text{ deg}$$

Valores obtenidos de la tabla 5.8.3.4.2-2

$$V_c := 0.083 \cdot \beta \cdot b_v \cdot \frac{d_v \cdot N}{\text{mm}^2} \sqrt{f_c} \quad V_c = 360.829 \text{ kN}$$

Nota = "Requiere refuerzo por corte"



$$V_s := V_n - V_c$$

$$V_s = 190.171 \text{ kN}$$

$$V_n := \frac{V_u}{\phi_c} \quad V_n = 551 \text{ kN}$$

$$\phi_v := \frac{1}{2} \text{ in} \quad A_v := 3 \left(0.25 \cdot \pi \cdot \phi_v^2 \right)$$

$$\text{espac} := \frac{A_v \cdot f_y \cdot d_v \cdot (\cot(\theta) + \cot(\alpha)) \cdot \sin(\alpha)}{V_s}$$

$$A_v = 3.8 \text{ cm}^2 \quad \alpha := 90 \text{ deg}$$

$$\text{espac} = 43.493 \text{ cm}$$

$$\text{USE} \quad \text{espac} := 30 \text{ cm}$$

$$V_s := \frac{A_v \cdot f_y \cdot d_v \cdot (\cot(\theta) + \cot(\alpha)) \cdot \sin(\alpha)}{\text{espac}}$$

$$V_s = 190.171 \text{ kN}$$



Segun AASHTO 5.8.3.5 se debe verificar la demanda adicional de en el refuerzo longitudinal causado por la fuerza de corte.

$$\text{Demanda} := \frac{Md_{\text{neg1}}}{d_v \cdot \phi_f} + \left(\frac{V_u}{\phi_c} - 0.5 \cdot V_s \right) \cdot \cot(\theta)$$

$$A_{sn} := \frac{\text{Demanda}}{f_y} \quad A_{sn} = 58 \text{ cm}^2$$

$$A_{s_suministrado} = 50.67 \text{ cm}^2 \quad (\text{refuerzo suministrado por flexión})$$

Para cumplir con las condiciones de interacción, flexión cortante, disminuiremos el espesor del refuerzo vertical en el extremo del muro lateral.